

FLAMINGO G12R/132D 610-640W



至臻品质



高转换效率

先进的电池技术和领先的制造工艺 实现高达23.7%的组件转换效率



优异的实地电量输出

更好的温度系数,弱光表现以及双面率, 在实际应用中输出更多电量



突出的抗衰减能力

TOPCon电池优异的抗衰减能力, 组件功率 年度衰减更低



严格的质量控制

严格的质量控制体系,保证产品长期运行可靠 性、稳定性



组件特征

12年 材料工艺质保

30年 线性功率质保

1% 首年功率衰减

0.4% 每年线性功率衰减





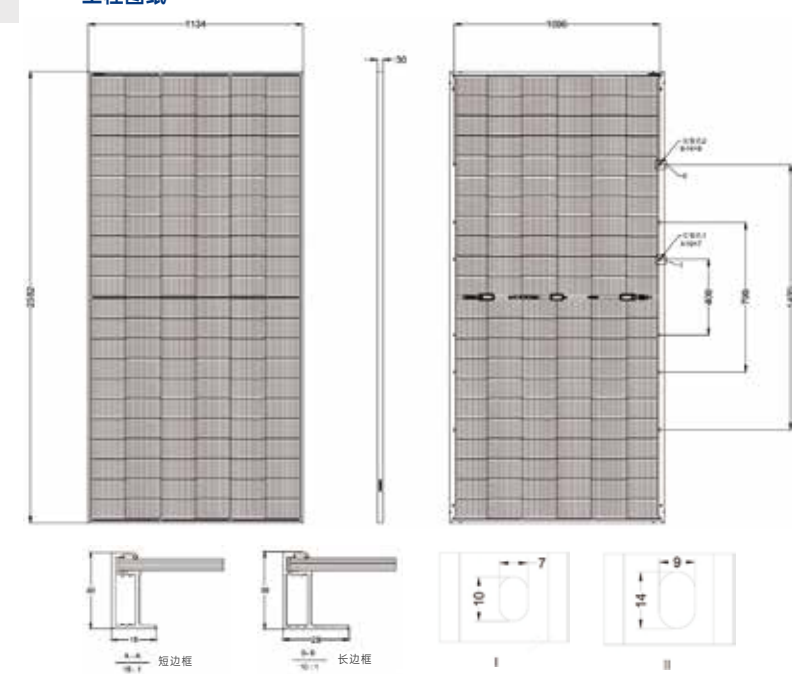




机械参数						
电池片类型	N-Type 单晶硅电池片					
电池排列	132 (2×66)					
输出导线	TüV 1×4mm² , (+)300mm, (-)200mm 导线长度可按照客户需求订制					
玻璃	正面玻璃: 2.0mm, 半钢化镀膜玻璃					
収场	背面玻璃:2.0mm,半钢化玻璃					
边框	阳极氧化铝合金边框					
组件重量	32.4 kg					
组件尺寸	2382×1134×30mm					
包装信息	37块每托					
已表信总	740块/13.5米平板车,962块/17.5米平板车					
	148块/20尺平柜,740块/40尺高柜					
安全防护等级	Class II					

备注: 17.5米车以28T荷载标注, 因规格不统一, 具体装车量以实际到货为准

工程图纸



* 长:±2mm 宽:±2mm 厚度t:±1mm 孔距:±2mm

电性能参数 (标准测试条件下)

组件型号	GK-4-66H	ГВD-610M	GK-4-66HTBD-615M GK-4-66HTBD-620M		GK-4-66HTBD-625M		GK-4-66HTBD-630M		GK-4-66HTBD-635M		GK-4-66HTBD-640M			
测试条件	STC	NOCT	STC	NOCT	STC	NOCT	STC	NOCT	STC	NOCT	STC	NOCT	STC	NOCT
最大功率(Pmax/W)	610	462	615	466	620	469	625	473	630	477	635	480	640	484
开路电压(Voc/V)	48.00	45.49	48.17	45.65	48.34	45.81	48.51	45.97	48.68	46.13	48.85	46.29	49.02	46.45
短路电流(Isc/A)	16.07	12.96	16.14	13.02	16.21	13.16	16.28	13.12	16.35	13.17	16.42	13.22	16.49	13.27
峰值功率电压(Vmp/V)	40.22	38.06	40.35	38.16	40.48	38.31	40.63	38.46	40.73	38.58	40.85	38.70	40.98	38.82
峰值功率电流(Imp/A)	15.18	12.16	15.25	12.20	15.33	12.27	15.41	12.31	15.48	12.36	15.55	12.41	15.62	12.46
组件转换效率(%)	22	2.6	22	2.8	23.0		23.1		23.3		23.5		23.7	

备注: 1、STC(标准测试环境):辐照度1000W/M³, 电池温度25℃, 光谱AM1.5 2、NOCT(电池片标称工作温度条件):辐照度800W/M³, 环境温度20℃, 光谱AM1.5,风速1M/S

不同背面功率增益下的综合电性能 (以625W为例)

功率增益	5%	10%	20%	
STC峰值功率(Pmax/W)	656.3	687.5	750.0	
开路电压(Voc/V)	48.5	48.5	48.5	
短路电流(Isc/A)	17.1	17.9	19.5	
最佳工作电压(Vmp/V)	40.6	40.6	40.6	
最佳工作电流(Imp/A)	16.2	17.0	18.5	
组件转换效率(%)	24.3	25.4	27.8	_

^{*}以上数据仅供参考,签订合同时以最新版产品规格书为准。

工作参数

工作温度	-40°C~ +85°C
功率公差	0~ +5W
最大系统电压	DC1500V (IEC)
标称工作温度	45±2°C
最大额定熔丝电流	35A
双面因子	80±5%
	IP68

血反示数 (SIC测试)	
短路电流(Isc)温度系数	+ 0.045%/°C
开路电压(Voc)温度系数	- 0.25%/℃
峰值功率(Pmay)温度系数	- 0.29%/℃

载荷能力

正面最大静态载荷	5400Pa				
背面最大静态载荷	2400Pa				
通过冰雹测试	直径25mm,冲击速度23m/s				



